

# PMT3540 - Aula 4 - Difusão assistida por irradiação e Segregação Induzida por Irradiação

Cláudio Geraldo Schön

Departamento de Engenharia Metalúrgica e de Materiais  
Escola Politécnica da Universidade de São Paulo

11 de setembro de 2019

# O Modelo de Naundorf

## Eficiência da produção de defeitos de Frenkel

A distribuição de distâncias de espalhamento de átomos pelo íon incidente é dada por:

$$W_p(\lambda) = \frac{1}{\lambda_p} \exp\left(-\frac{\lambda}{\lambda_p}\right)$$

onde a distância média é definida como:

$$\lambda_p = \frac{\Omega}{\Sigma_p}$$

e, assumindo que  $r_{ij}$  é a distância mínima para que os defeitos formados não recombinem imediatamente, determinamos um fator de redução.

$$\beta_p = \exp\left(-\frac{r_{ij}}{\lambda_p}\right)$$

# O Modelo de Naundorf

## Eficiência da produção de defeitos de Frenkel

Assumindo o modelo de deslocamento de NRT (Aula 2):

$$\nu(T) = \begin{cases} 0 & T < E_D \\ 1 & E_D \leq T \leq 2,5E_D \\ \frac{0,8(T-S_e)}{2E_D} & 2,5E_D \leq T \leq \gamma E_i \end{cases}$$

com

$$\bar{\sigma}_D = \int_{E_D}^{\gamma E_i} \sigma_p(T) \nu(T) dT$$

Define-se, por analogia, as quantidades  $\Sigma_A(T)$ ,  $\bar{\sigma}_A(T, T')$ ,  $\beta_A$ , para o espalhamento secundário dos átomos deslocados (nesse caso  $\gamma = 1$ ).

V. Naundorf "On the origin of freely migrating defects in ion and neutron irradiated metals" *J. Nucl. Mater.* **182**, 1991, 254 – 257.

# O Modelo de Naundorf

## Eficiência da produção de defeitos de Frenkel

Gerações de defeitos:

$$\eta = \sum_i \eta_i$$

$$\eta_1 = \frac{\beta_p}{\Sigma_D} \int_{E_D}^{\gamma E_i} \bar{\sigma}_D(E_i, T) dT$$

Definindo  $Z(T)$  = número de deslocamentos secundários com energia  $T$  produzidos pelo íon incidente.

$$\eta_2 = \frac{1}{\Sigma_D} \int_{E_D}^{\gamma E_i} \bar{\sigma}_D(E_i, T) \frac{Z(T) \beta_A(T)}{\Sigma_A(T)} dT \int_{E_D}^{2E_D} \bar{\sigma}_A(T, T') dT'$$

V. Naundorf "On the origin of freely migrating defects in ion and neutron irradiated metals" *J. Nucl. Mater.* **182**, 1991, 254 – 257.

# O Modelo de Naundorf

## Eficiência da produção de defeitos de Frenkel

Eficiência de produção de defeitos em Ni ( $E_D = 40$  eV,  $r_{ij} = 0,7$  nm).

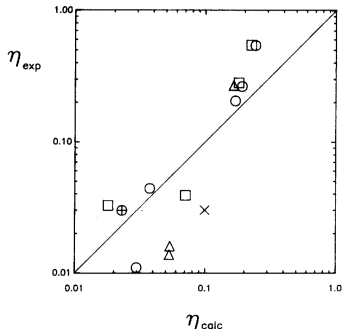
Íon	$E_i$	$\frac{\sigma_p}{\sigma_D}$ (%)	$\eta_{calc}$ (%)
H <sup>+</sup>	1 MeV	37,0	24,0
H <sup>+</sup>	2 MeV	30,0	19,2
Li <sup>+</sup>	2 MeV	27,0	16,9
Ne <sup>+</sup>	1,8 MeV	16,0	8,7
Ni <sup>+</sup>	300 keV	5,1	2,3
Ni <sup>+</sup>	3 MeV	7,5	3,75
Kr <sup>+</sup>	3,5 MeV	5,9	3,0
O <sup>+</sup>	2,0 keV	42,0	9,8

V. Naundorf "On the origin of freely migrating defects in ion and neutron irradiated metals" *J. Nucl. Mater.* **182**, 1991, 254 – 257.

# O Modelo de Naundorf

## Eficiência da produção de defeitos de Frenkel

Defeitos de Frenkel estimados por estudos de difusão sob irradiação ( $\eta_{exp}$ ) e calculados pelo modelo de Naundorf ( $\eta_{calc}$ ):  $\circ$  = Si em Ni,  $\square$  = Au em Cu,  $\triangle$  = Re em Mo,  $\oplus$ ,  $\times$  = Ni em Ni, ref. 1 MeV Si em Ni.

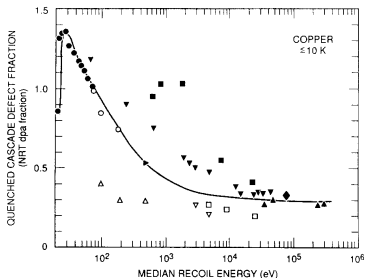


V. Naundorf "On the origin of freely migrating defects in ion and neutron irradiated metals" *J. Nucl. Mater.* **182**, 1991, 254 – 257.

# O modelo de Zinkle e Singh

## Defeitos que sobrevivem à têmpera

Na fase final da cascata de dano, após a têmpera, a maioria dos pares de Frenkel criados no deslocamento é aniquilada. Definimos a fração de defeitos após a têmpera (QDF) como uma fração dos deslocamentos calculados pelo método NRT.



Símbolos abertos: simulações de MD, símbolos cheios: experimentos (resistividade). ○: elétrons, ▽ □: íons, losangos: fragmentos de fissão, ▷ △: nêutrons.

S. J. Zinkle, B. N. Singh "Analysis of displacement damage and defect production under cascade damage conditions" *J. Nucl. Mater.* **199**, 1993, 173 – 191.

*Mater.* **199**, 1993, 173 – 191.

# O modelo de Zinkle e Singh

## Variáveis

Summary of displacement damage and defect production parameters

Parameter	Typical values in Cu		
	1 MeV electron	30 keV cascade	Comments
DMF = displacement mixing factor	DMF = 1	DMF ~ 100	DMF = DMF(T)
QDF = quenched cascade defect fraction	QDF = 1 (all temperatures)	QDF(4 K) ~ 0.3 QDF(300 K) ≥ 0.12	$QDF_i = QDF_v$
SDF = correlated recombination surviving defect fraction	SDF(4 K) = 1 SDF(300 K) ~ 0.5	SDF(4 K) = 0.3 SDF(50 K) ~ 0.2 SDF(300 K) ~ 0.1	$SDF_i = SDF_v$ SDF = SDF(T)
$CDF_{i,v}$ = intracascade clustered defect fractions	CDF = 0	$CDF_i(4 K) \sim 0.2$ $CDF_v(4 K) \sim 0.2$	CDF = CDF(T)
$IDF_{i,v}$ = isolated point defect fractions	$IDF_i(4 K) = 1$ $IDF_v = 1$ $IDF_i(300 K) = 0.5$ $IDF_v = 0.5$	$IDF_i(4 K) \sim 0.1$ $IDF_v(4 K) \sim 0.1$ $IDF_i(300 K) \leq 0.04$ $IDF_v(300 K) \sim 0.02$	IDF = IDF(T)

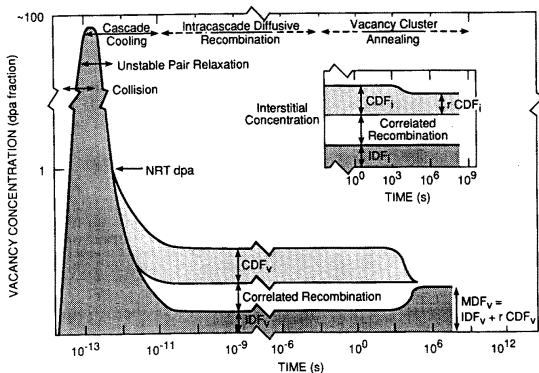
S. J. Zinkle, B. N. Singh "Analysis of displacement damage and defect production under cascade damage conditions" *J. Nucl. Mater.* **199**, 1993, 173 – 191.

*Mater.* **199**, 1993, 173 – 191.



# O modelo de Zinkle e Singh

## Variáveis



S. J. Zinkle, B. N. Singh "Analysis of displacement damage and defect production under cascade damage conditions" *J. Nucl. Mater.* **199**, 1993, 173 – 191.

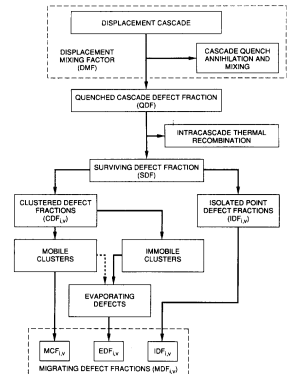
*Mater.* **199**, 1993, 173 – 191.

# Defeitos livres para migração

*Freely migrating defects, FMD*

- DMF** *Displacement mixing factor* - número de reposições em relação aos deslocamentos NRT após as fases de colisão e têmpera.
- QDF** *Quenched cascade defect fraction* - número de defeitos sobreviventes após a têmpera
- SDF** *Correlated recombination surviving defect fraction* - fração dos deslocamentos NRT que sobreviveram à fase de recombinação correlacionada
- CDG** *Clustered defect fraction* - fração de defeitos (intersticiais ou lacunas) que terminam a fase de têmpera na forma de *clusters*.
- IDF** *isolated point defect fraction* - fração de deslocamentos NRT que sobrevivem à fase de têmpera na forma de defeitos isolados (intersticiais ou lacunas).

$$SDF = CDF_i + IDF_i = CDF_i + IDF_i$$

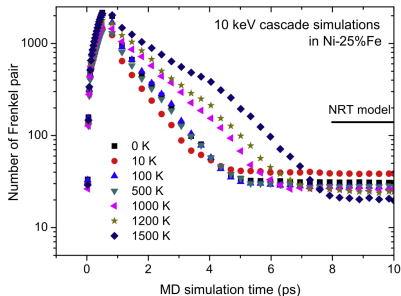


S. J. Zinkle, B. N. Singh "Analysis of displacement damage and defect production under cascade damage conditions" *J. Nucl.*

*Mater.* **199**, 1993, 173 – 191.

# Resultados de Wang *et al*

## Simulações de MD em Fe – Ni



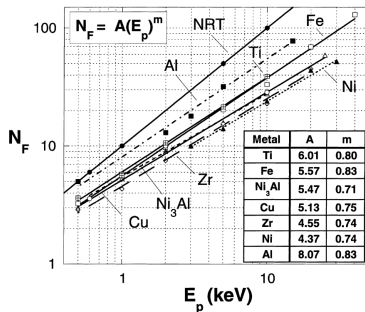
C. Wang *et al.* "The effect of temperature on primary defect formation in Ni – Fe alloys" *Nucl. Instr. Methods Phys. Res. B* **321**, 2014, 49 – 53.

# Efeito do *thermal spike*

## Simulações de MD

Número de pares de Frenkel sobreviventes à cascata,  $N_F$ :

$$N_F = A(T)^n$$



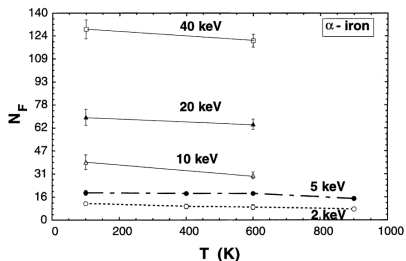
D. J. Bacon, F. Gao, Yu. N. Osetsky "The primary damage state in fcc, bcc and hcp metals as seen in molecular dynamics simulations" *J. Nucl. Mater.* **276**, 2000, 1–12.

# Efeito do *thermal spike*

## Simulações de MD

Número de pares de Frenkel sobreviventes à cascata,  $N_F$ :

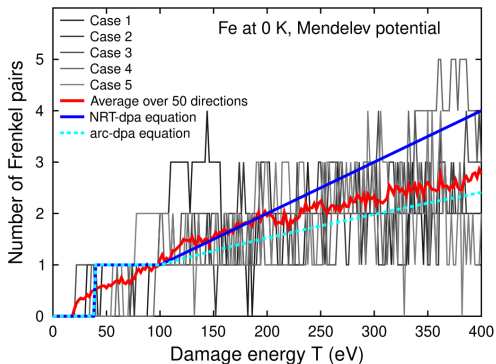
$$N_F = A(T)^n$$



D. J. Bacon, F. Gao, Yu. N. Osetsky "The primary damage state in fcc, bcc and hcp metals as seen in molecular dynamics simulations" *J. Nucl. Mater.* **276**, 2000, 1–12.

# Efeito do *thermal spike*

## Simulações de MD

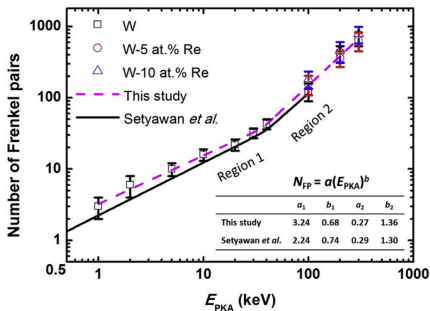


K. Nordlund *et al.* "Primary radiation damage: a review of current understanding and models" *J. Nucl. Mater.* **512**, 2018, 450 – 479.

# Resultados recentes

## Simulações de MD

Região 2: início da produção de aglomerados (*clusters*) de intersticiais.



J. Fu., Y. Chen *et al.* "Molecular dynamics simulations of high-energy radiation damage in W and W – Re alloys" *J. Nucl. Mater.*

524, 2019, 9 – 20.

# Passeio aleatório de um defeito

## Desvio médio quadrático da distância

Hipóteses: o átomo isolado se movimenta por saltos aleatórios de comprimento  $\lambda$ , sendo os saltos completamente não correlacionados  
→  $P(r)$ : a probabilidade de encontrar o átomo a uma distância  $r$  da origem.

$$\langle r^2 \rangle \equiv \int_V (r')^2 P(r') d^3 r' = 4\pi \int_0^\infty (r')^4 P(r') dr'$$



# Computando o desvio médio quadrático

Para um tempo  $t$  o átomo faz  $\Gamma$  saltos, de comprimento  $\lambda$ , por unidade de tempo:

$$n = \Gamma t$$

Cada salto, entretanto, corresponde a um vetor  $\vec{\lambda}_i$ , a posição do átomo após o tempo  $t$  será:

$$\vec{r} = \sum_{i=1}^n \vec{\lambda}_i$$

Sendo assim:

$$\langle r^2 \rangle = \langle r \cdot r \rangle = \sum_{i=1}^n \lambda_i^2 + 2 \sum_{i=1}^{n-1} \sum_{j \neq i}^n \vec{\lambda}_i \cdot \vec{\lambda}_j = n\lambda^2 + 2n\lambda^2 \sum_{i=1}^{n-1} \sum_{j \neq i}^n \cos \theta_{ij}$$

# Computando o desvio médio quadrático

Para um tempo  $t$  o átomo faz  $\Gamma$  saltos, de comprimento  $\lambda$ , por unidade de tempo:

$$n = \Gamma t$$

Cada salto, entretanto, corresponde a um vetor  $\vec{\lambda}_i$ , a posição do átomo após o tempo  $t$  será:

$$\vec{r} = \sum_{i=1}^n \vec{\lambda}_i$$

Sendo assim:

$$\langle r^2 \rangle = \langle \mathbf{r} \cdot \mathbf{r} \rangle = \sum_{i=1}^n \lambda_i^2 + 2 \sum_{i=1}^{n-1} \sum_{j \neq i}^n \vec{\lambda}_i \cdot \vec{\lambda}_j = n\lambda^2 + 2n\lambda^2 \sum_{j=1}^{n-1} \sum_{j \neq i}^n \cos \theta_{ij}$$

# Computando o desvio médio quadrático

Para um tempo  $t$  o átomo faz  $\Gamma$  saltos, de comprimento  $\lambda$ , por unidade de tempo:

$$n = \Gamma t$$

Cada salto, entretanto, corresponde a um vetor  $\vec{\lambda}_i$ , a posição do átomo após o tempo  $t$  será:

$$\vec{r} = \sum_{i=1}^n \vec{\lambda}_i$$

Sendo assim:

$$\langle r^2 \rangle = n\lambda^2 \Rightarrow \langle r^2 \rangle = \lambda^2 \Gamma t$$

# O problema macroscópico

Segunda lei de Fick:

$$\frac{\partial c}{\partial t} = D \frac{1}{r^2} \frac{\partial}{\partial r} \left( r^2 \frac{\partial c}{\partial r} \right)$$

com a restrição:

$$N = 4\pi \int_0^{\infty} r^2 c(r, t) dr$$

A solução:

$$c(r, t) = N \frac{\exp\left(-\frac{r^2}{4Dt}\right)}{(4\pi Dt)^{\frac{3}{2}}}$$

## O problema macroscópico

A probabilidade de encontrar a partícula no intervalo  $(r, r + dr)$  é:

$$P(r) = \frac{c(r, t)}{N} = \frac{\exp\left(-\frac{r^2}{4Dt}\right)}{(4\pi Dt)^{\frac{3}{2}}}$$

O desvio médio quadrático será:

$$\langle r^2 \rangle = 4\pi \int_0^\infty r^4 P(r) dr = \frac{4\pi}{(4\pi Dt)^{\frac{3}{2}}} \int_0^\infty r^4 \exp\left(-\frac{r^2}{4Dt}\right) dr$$

resolvendo a integral:

$$\langle r^2 \rangle = 6Dt$$

# Equação de Einstein

Comparando as duas deduções de  $\langle r^2 \rangle$  temos:

$$D = \frac{1}{6} \Gamma \lambda^2$$

com:

$$\Gamma = z p_l \omega$$

- $z$  : número de coordenação
- $p_l = N_l$ : probabilidade de encontrar uma lacuna como primeiro vizinho do átomo
- $\omega$ : frequência de tentativa

$$\lambda = Aa \Rightarrow \frac{1}{6} z A^2 = \alpha \Rightarrow D = \alpha a^2 N_l \omega$$

- $A, \alpha$ : fatores de proporcionalidade que dependem do mecanismo e do reticulado
- $a$ : parâmetro de rede

# Difusão dos defeitos

- A dedução anterior, átomo trocando de lugar com lacuna (equivalentemente, com um intersticial)  $\rightarrow$  probabilidade de encontrar uma lacuna (ou intersticial) na vizinhança é baixa.
- Os defeitos (lacuna ou intersticial) trocam de lugar com átomos nas posição regulares da rede  $\rightarrow p_A \approx 1$

$$D = \alpha a^2 \omega$$

diversas ordens de grandeza maior que para os átomos.

# Fator de correlação

A hipótese de não correlação entre os saltos é muito forte  $\rightarrow$  fator de correlação,  $f$ .

$$D = f\alpha a^2 N_l \omega$$

com

$$f = \frac{z - 1}{z + 1}$$



# Difusão pelo mecanismo de lacunas

Normalmente, somente lacunas isoladas são disponíveis para migração.

$$D'_a = f_l D_l c_l$$

- $f_l$ : fator de correlação (depende do mecanismo de migração)
- $D_l$ : difusividade da lacuna
- $c_l$ : concentração de lacunas

# Difusividade total

Na cascata de dano outros defeitos são disponíveis:

$$D_a = f_I D_I c_I + f_i D_i c_i + f_{2I} D_{2I} c_{2I} + \dots$$

- intersticiais:  $f_i, D_i, c_i$
- pares de lacunas:  $f_{2I}, D_{2I}, c_{2I}$

# Balanço na produção/aniquilação de defeitos

- Produção de defeitos → cascata de dano
- Aniquilação
  - Direta ( $I + i \rightarrow \emptyset$ )
  - Indireta (com sumidouro: núcleos de discordâncias, contornos de grão, superfícies livres (e poros), ...)

# Equações de balanço

$$\begin{cases} \frac{dc_l}{dt} = K_0 - K_{il}c_i c_l - K_{ls}c_l c_s + \nabla \cdot D_l \nabla c_l \\ \frac{dc_i}{dt} = K_0 - K_{il}c_i c_l - K_{is}c_i c_s + \nabla \cdot D_i \nabla c_i \end{cases}$$

- $K_0$ : taxa de produção de defeitos (deslocamentos)
- $K_{il}$ : taxa de recombinação
- $K_{ls}$ : taxa de combinação de lacunas e sumidouros
- $K_{is}$ : taxa de combinação de intersticiais e sumidouros

o último termo se refere ao divergente dos defeitos, que é importante quando os sumidouros não são localizados.

# Modelo simplificado

- 1 metais puros, não há correlação,  $f = 1$ .
- 2 concentração de sumidouros e sua ação, são constantes (não saturam)
- 3 outras reações entre defeitos (formação de pares de lacunas, por exemplo), são ignoradas
- 4 aniquilação de intersticiais e lacunas com sumidouros são equiprováveis
- 5 difusividades são constantes
- 6 equilíbrio térmico é ignorado

# Modelo simplificado

## Definições

Definimos  $r_{ij}$ ,  $r_{is}$  e  $r_{ls}$  como os raios de interação dos defeitos, como  $D_i \gg D_l$ :

$$K_{ij} = 4\pi r_{ij} (D_l + D_i) \approx 4\pi r_{ij} D_i$$

$$K_{ls} = 4\pi r_{ls} D_l$$

$$K_{is} = 4\pi r_{is} D_i$$

Assim, em geral,  $K_0 \gg K_{ij} > K_{is} \gg K_{ls}$ . Assim, diferentes escalas de tempo para cada processo de criação/aniquilação.

# Modelo simplificado

## Solução

As equações diferenciais de balanço são não lineares, mas a diferença de escala de tempo permite que certos trechos da solução sejam conhecidos. Por exemplo, no início (tempos muito curtos) as concentrações estarão dominadas pelo termo  $K_0$ , com  $c_l = c_i = c$ , portanto:

$$\frac{dc}{dt} = K_0 \Rightarrow c(t) = K_0 t$$

onde usamos a condição de contorno:

$$\lim_{t=0} c = 0$$

# Solução

## Segundo nível

Numa segunda etapa, nós introduzimos o termo de aniquilação dos pares de Frenkel:

$$\frac{dc}{dt} = K_0 - K_{ij}c^2$$

A solução analítica é:

$$c(t) = \sqrt{\frac{K_0}{K_{ij}}} \tanh\left(\sqrt{K_0 K_{ij}} t\right)$$

Como  $\lim_{x \rightarrow \infty} \tanh(x) = 1$ , podemos notar que há um estado estacionário estável para tempos longos:

$$\lim_{t \rightarrow \infty} c(t) = c_0^{ss} = \sqrt{\frac{K_0}{K_{ij}}}$$

Este estado estacionário significa apenas que após um certo tempo a taxa de criação de defeitos é compensada pela taxa de aniquilação.

O argumento da tangente hiperbólica também define um tempo característico,  $\tau_{ij} = \left(\sqrt{K_0 K_{ij}}\right)^{-1}$ , que gera uma escala de tempo para o processo de recombinação. Tempos dessa ordem são necessários para que o estado estacionário se estabeleça.



# Solução

## terceiro nível

Numa próxima etapa consideramos a aniquilação dos intersticiais em seus sumidouros (intersticiais iniciam antes, pois sua mobilidade é maior que a das lacunas),

$$\begin{cases} \frac{dc_I}{dt} = K_0 - K_{il}c_i c_I \\ \frac{dc_i}{dt} = K_0 - K_{il}c_i c_I - K_{is}c_i c_S \end{cases}$$

Como o termo de sumidouro afeta apenas os intersticiais, a sua concentração agora irá se diferenciar da concentração de lacunas (que irá aumentar, pois agora o número de intersticiais disponíveis para aniquilação diminui). Soluções analíticas agora se tornam muito difíceis, mas podemos encontrar soluções aproximadas para estados estacionários e tempos característicos.

Para tempos próximos a  $\tau_{is} = (K_{is}c_S)^{-1}$  (início da diferenciação das concentrações):

$$c_I = \sqrt{\frac{K_0 K_{is} c_S t}{K_{il}}} = c_0^{SS} \sqrt{K_{is} c_S t}$$

$$c_i = \sqrt{\frac{K_0}{K_{il} K_{is} c_S t}} = c_0^{SS} \left( \sqrt{K_{is} c_S t} \right)^{-1}$$

# Solução

## Quarto nível

Introduzindo agora o termo de aniquilação de lacunas nos sumidouros:

$$\begin{cases} \frac{dc_I}{dt} = K_0 - K_{II}c_Ic_I - K_{IS}c_Ic_S \\ \frac{dc_I}{dt} = K_0 - K_{II}c_Ic_I - K_{IS}c_Ic_S \end{cases}$$

Temos agora o estabelecimento de um novo estado estacionário (no tempo característico  $\tau_{IS} = (K_{IS}c_S)^{-1}$ ):

$$c_I^{SS} = -\frac{K_{IS}c_S}{2K_{II}} + \left[ \frac{K_0 K_{IS}}{K_{II}K_{IS}} + \frac{K_{IS}^2 c_S^2}{4K_{II}^2} \right]^{\frac{1}{2}}$$

$$c_I^{SS} = -\frac{K_{IS}c_S}{2K_{II}} + \left[ \frac{K_0 K_{IS}}{K_{II}K_{IS}} + \frac{K_{IS}^2 c_S^2}{4K_{II}^2} \right]^{\frac{1}{2}}$$

# Solução

## Quarto nível

Introduzindo agora o termo de aniquilação de lacunas nos sumidouros:

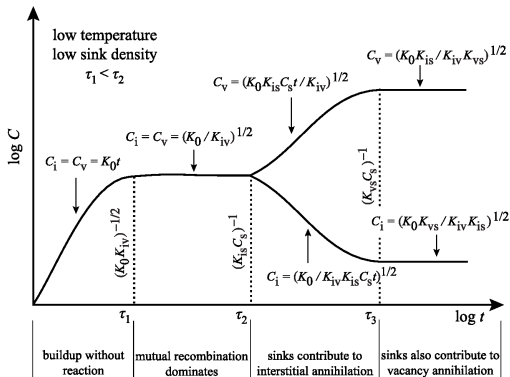
$$\begin{cases} \frac{dc_l}{dt} = K_0 - K_{il}c_i c_l - K_{ls}c_l c_s \\ \frac{dc_i}{dt} = K_0 - K_{il}c_i c_l - K_{is}c_i c_s \end{cases}$$

Para  $c_s \approx 0$ :

$$\begin{aligned} c_l^{ss} &\approx \left( \frac{K_0 K_{is}}{K_{il} K_{ls}} \right)^{\frac{1}{2}} = c_0^{ss} \left( \frac{K_{is}}{K_{il}} \right)^{\frac{1}{2}} \\ c_i^{ss} &\approx \left( \frac{K_0 K_{ls}}{K_{il} K_{is}} \right)^{\frac{1}{2}} = c_0^{ss} \left( \frac{K_{il}}{K_{is}} \right)^{\frac{1}{2}} \end{aligned}$$

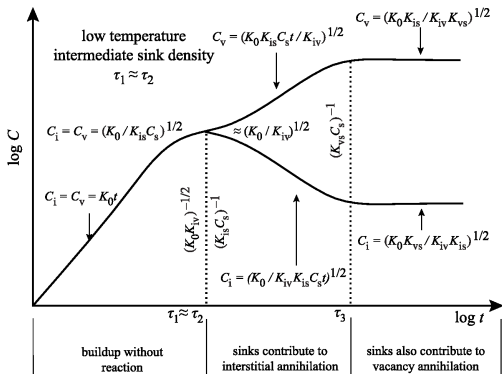
# Casos especiais

Baixa densidade de sumidouros:



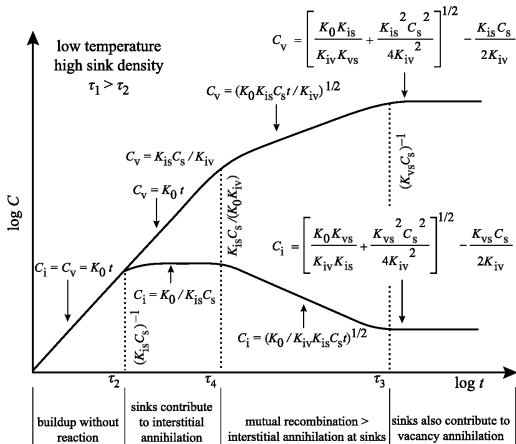
# Casos especiais

Média densidade de sumidouros:



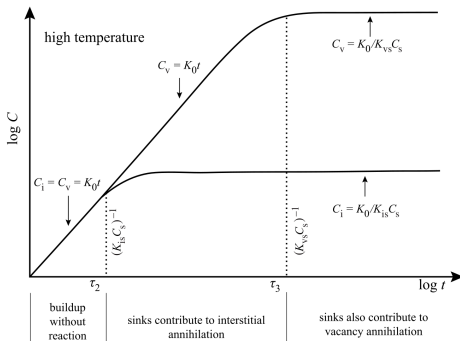
# Casos especiais

Alta densidade de sumidouros:

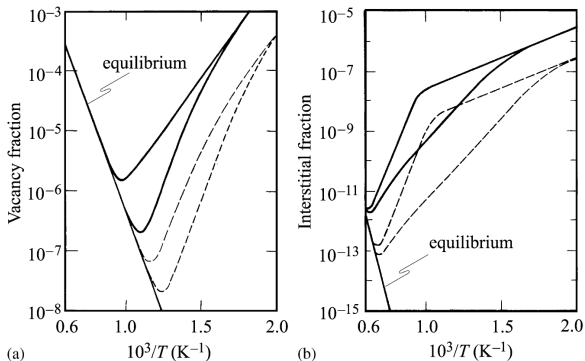


# Casos especiais

Alta temperatura:



# Evolução da concentração de defeitos



(a) - lacunas, (b) intersticiais, linha cheia: alta taxa de produção de defeitos, linha tracejada: baixa taxa de produção de defeitos.



# Deficiências do modelo simplificado

- Ignora-se a evolução da eficiência dos sumidouros quando a irradiação procede.
- Ignora-se diferenças de eficiência (*sink bias*) dos diferentes tipos de sumidouros.
- Ignora-se efeitos de interação entre defeitos e entre defeitos e impurezas → complexos de defeitos (*clusters*)
- Ignora-se os termos de gradiente → segregação induzida por irradiação.

# Difusão assistida por irradiação

Lembrando:

$$D_a = c_l D_l + c_i D_i$$

e, como Was ressalta, no estado estacionário (de produção de defeitos) o mesmo número de lacunas e intersticiais é criado e aniquilado globalmente, assim:

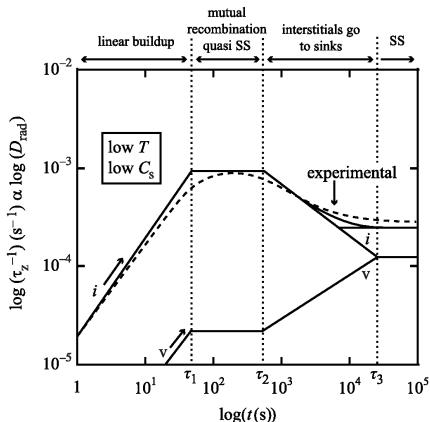
$$D_i c_i = D_l c_l$$

Assim, lacunas e intersticiais contribuem igualmente para o aumento de difusividade.

# Exemplo

Atrito interno em Ag – 30% Zn

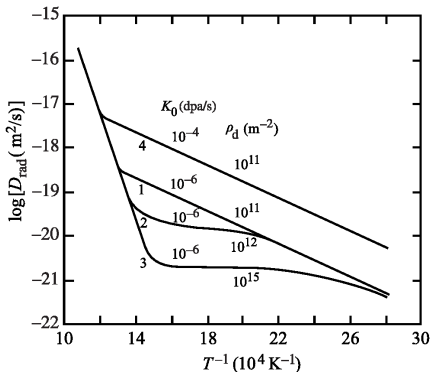
Irradiado a 40°C com elétrons (2.5 MeV e fluxo  $3,7 \times 10^{15} \text{ m}^{-2} \text{ s}^{-1}$ ).  
Medidas de atrito interno (proporcional à difusividade).



# Exemplo

Cu (autodifusão), encruado

Autodifusão em cobre irradiado (calculado), em função da temperatura e da densidade de discordâncias (densidade de sumidouros) para dois níveis de dano (característicos de dano por nêutrons rápidos).



# Cálculo da temperatura crítica

$$c_i K_{is} = c_l K_{ls} \Rightarrow c_i = \frac{c_l K_{ls}}{K_{is}}$$

No estado estacionário:

$$\begin{cases} c_l = \frac{K_{is} c_s}{2K_{il}} \left[ \left( 1 + \frac{4K_0 K_{il}}{K_{is} K_{ls} c_s^2} \right)^{\frac{1}{2}} - 1 \right] \\ c_i = \frac{K_{ls} c_s}{2K_{il}} \left[ \left( 1 + \frac{4K_0 K_{il}}{K_{is} K_{ls} c_s^2} \right)^{\frac{1}{2}} - 1 \right] \end{cases}$$

definindo:

$$\eta_{def} = \frac{4K_0 K_{il}}{K_{is} K_{ls} c_s^2}$$

# Cálculo da temperatura crítica

$$c_l K_{ls} c_s = F(\eta_{def}) K_0$$

onde

$$F(\eta_{def}) = \frac{2}{\eta_{def}} \left[ (1 + \eta_{def})^{\frac{1}{2}} - 1 \right]$$

essa função mede a razão de defeitos perdidos para sumidoutora/perdidos por recombinação. Procuramos:

$$F(\eta_{def}) = \frac{1}{2} \Rightarrow \eta_{def} = 8$$

# Cálculo da temperatura crítica

$$2 = \frac{K_0 K_{il} D_i^0 \exp\left(-\frac{H_i^m}{k_B T}\right)}{K_{ls} D_l^0 \exp\left(-\frac{H_l^m}{k_B T}\right) K_{is} D_i^0 \exp\left(-\frac{H_i^m}{k_B T}\right)}$$

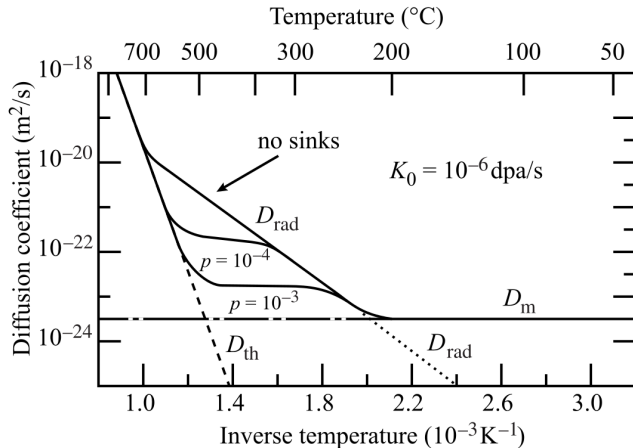
simplificando

$$T_c = \frac{H_l^m}{k_B \ln\left(\frac{2D_l^0 c_s^2 K_{is} K_{ls}}{K_0 K_{il}}\right)}$$

para temperaturas maiores a difusão é dominada pelas lacunas de equilíbrio.

# Efeito na difusividade

Ni,  $K_0 = 10^{-6} \text{ dpa s}^{-1}$

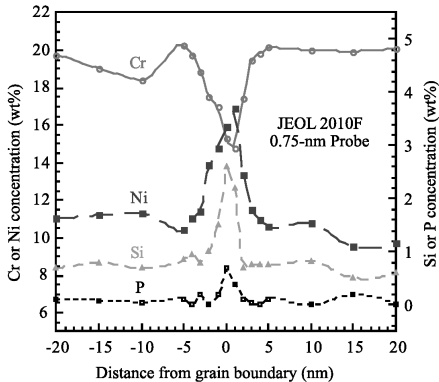




Fim da primeira parte

# Segregação induzida por irradiação

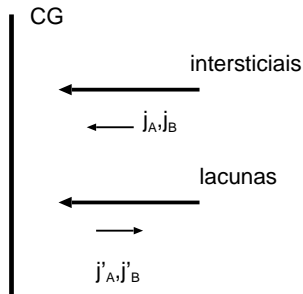
Irradiado em reator LWR, “vários” dpa.



# Origem do fenômeno

- Radiação produz defeitos (lacunas e intersticiais)
- Esses defeitos migram para sumidouros
- A maioria desses sumidouros são localizados espacialmente (discordâncias, contornos de grão)
- Isso leva a um fluxo de defeitos em direção a esses sumidouros
- Se houver preferência por uma determinada espécie atômica, isso resultará em transporte macroscópico de matéria

# Fluxos



O gradiente de composição gerado causa, ele mesmo, um fluxo contrário de átomos. No estado estacionário um gradiente permanecerá.

# Modelo de Wiedersich, Okamoto e Lam

## Ligas binárias concentradas

Fluxo de defeitos:

$$\frac{\partial c_I}{\partial t} = -\nabla \cdot j_I + K_0 - R$$

$$\frac{\partial c_j}{\partial t} = -\nabla \cdot j_j + K_0 - R$$

com

$$R = K_{ij} c_i c_j$$

Conservação dos elementos de liga:

$$\frac{\partial c_A}{\partial t} = -\nabla \cdot j_A$$

$$\frac{\partial c_B}{\partial t} = -\nabla \cdot j_B$$

H. Wiedersich, P. R. Okamoto, N. Q. Lam, "A theory of radiation-induced segregation in concentrated alloys" *J. Nucl. Mater.* **83**, 1979, 98 – 108.

# Acoplamento dos fluxos

$$j_i = j_A^i + j_B^i$$

$$j_l = - (j_A^l + j_B^l)$$

H. Wiedersich, P. R. Okamoto, N. Q. Lam, "A theory of radiation-induced segregation in concentrated alloys" *J. Nucl. Mater.* **83**, 1979, 98 – 108.

# Difusividades

Difusividade de A por meio de lacunas:

$$D_A^I = \frac{1}{6} \lambda_I^2 z_I N_I \omega_A^I f_A^I$$

- $\lambda_A$ : distância de salto da lacuna
- $z_I$ : número de coordenação para a lacuna
- $N_I$ : número de lacunas
- $\omega_A^I$ : frequência de saltos da substituição de um átomo de A por uma lacuna
- $f_A^I$ : fator de correlação

H. Wiedersich, P. R. Okamoto, N. Q. Lam, "A theory of radiation-induced segregation in concentrated alloys" *J. Nucl. Mater.* **83**, 1979, 98 – 108.

# Difusividades

Difusividade de A por meio de lacunas:

$$D_A^I = \frac{1}{6} \lambda_I^2 z_I N_I \omega_A^I$$

- $\lambda_A$ : distância de salto da lacuna
- $z_I$ : número de coordenação para a lacuna
- $N_I$ : número de lacunas
- $\omega_A^I$ : frequência de saltos da substituição de um átomo de A por uma lacuna
- $f_A^I$ : fator de correlação ( $\approx 1$ , por simplicidade)

H. Wiedersich, P. R. Okamoto, N. Q. Lam, "A theory of radiation-induced segregation in concentrated alloys" *J. Nucl. Mater.* **83**, 1979, 98 – 108.



# Difusividades

## Difusividades parciais

Difusividade de lacunas por meio de A:

$$D_I^A = \frac{1}{6} \lambda_I^2 z_I N_A \omega_I^A$$

mas, como  $\omega_A^I = \omega_I^A = \omega_{A:I}$

$$D_I^A = d_{A:I} N_A$$

com

$$d_{A:I} = \frac{1}{6} \lambda_I^2 z_I \omega_{A:I}$$

Os outros três termos (para B por lacunas e para A e B por intersticiais) são definidos por analogia.

H. Wiedersich, P. R. Okamoto, N. Q. Lam, "A theory of radiation-induced segregation in concentrated alloys" *J. Nucl. Mater.* **83**, 1979, 98 – 108.

# Difusividades

## Difusividades totais

Definimos:

$$D_l = d_{A:l}N_A + d_{B:l}N_B$$

$$D_i = d_{A:i}N_A + d_{B:i}N_B$$

$$D_A = d_{A:l}N_l + d_{A:i}N_i$$

$$D_B = d_{B:l}N_l + d_{B:i}N_i$$

H. Wiedersich, P. R. Okamoto, N. Q. Lam, "A theory of radiation-induced segregation in concentrated alloys" *J. Nucl. Mater.* **83**, 1979, 98 – 108.

# Primeira lei de Fick

Referencial fixo no reticulado:

$$j_A = -D_A \Phi \nabla c_A + d_{A:l} \nabla c_l - d_{A:i} \nabla c_i$$

$$j_B = -D_B \Phi \nabla c_B + d_{B:l} \nabla c_l - d_{B:i} \nabla c_i$$

$$j_l = (d_{A:l} - d_{B:l}) \Phi \nabla c_A - D_l \nabla c_l$$

$$j_i = - (d_{A:i} - d_{B:i}) \Phi \nabla c_A - D_i \nabla c_i$$

Onde  $\Phi$  é o fator termodinâmico para difusão, que transforma o gradiente de concentração em um gradiente de potencial químico (por meio dos coeficientes de atividade  $\gamma_A$  e  $\gamma_B$ ):

$$\Phi = \left( 1 + \frac{\partial \gamma_A}{\partial c_A} \right) = \left( 1 + \frac{\partial \gamma_B}{\partial c_B} \right)$$

Nota: não há efeito das lacunas e dos intersticiais sobre o potencial químico pois sua concentração é sempre muito pequena, caracterizando solução diluída (vale a lei de Raoult para esses componentes).

H. Wiedersich, P. R. Okamoto, N. Q. Lam, "A theory of radiation-induced segregation in concentrated alloys" *J. Nucl. Mater.* **83**, 1979, 98 – 108.

# Conservação de partículas

$$j_A + j_B = -j_I + j_i$$

Apenas três fluxos são independentes.  
Assumindo estado estacionário:

$$j_A = j_B$$

e

$$j_i = j_I$$

H. Wiedersich, P. R. Okamoto, N. Q. Lam, "A theory of radiation-induced segregation in concentrated alloys" *J. Nucl. Mater.* **83**, 1979, 98 – 108.

# Solução

$$\nabla c_A = \frac{N_A N_B d_{B:i} d_{A:i}}{\Phi (d_{B:i} N_B D_A + d_{A:i} N_A D_B)} \left( \frac{d_{A:l}}{d_{B:l}} - \frac{d_{A:i}}{d_{B:i}} \right) \nabla c_I$$

usando as definições de  $d_{X:j}$  e considerando que:

$$\omega_{X:j} = \nu \exp \left( \frac{\Delta S_m^{X:j}}{k_B} \right) \exp \left( \frac{\Delta U_m^{X:j}}{k_B T} \right)$$

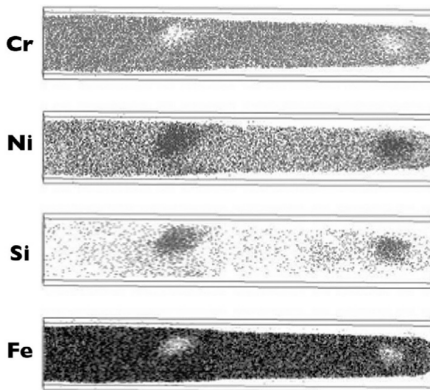
temos

$$\frac{d_{A:l}}{d_{B:l}} \approx \exp \left( \frac{\Delta U_m^{A:l} - \Delta U_m^{B:l}}{k_B T} \right)$$

$$\frac{d_{A:i}}{d_{B:i}} \approx \exp \left( \frac{\Delta U_m^{A:i} - \Delta U_m^{B:i}}{k_B T} \right)$$

H. Wiedersich, P. R. Okamoto, N. Q. Lam, "A theory of radiation-induced segregation in concentrated alloys" *J. Nucl. Mater.* **83**, 1979, 98 – 108.

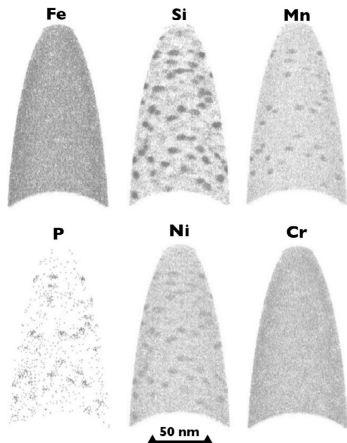
# Exemplos de RIS



AISI 316, n, 663 K, 12 dpa,  $\approx$  66 nm

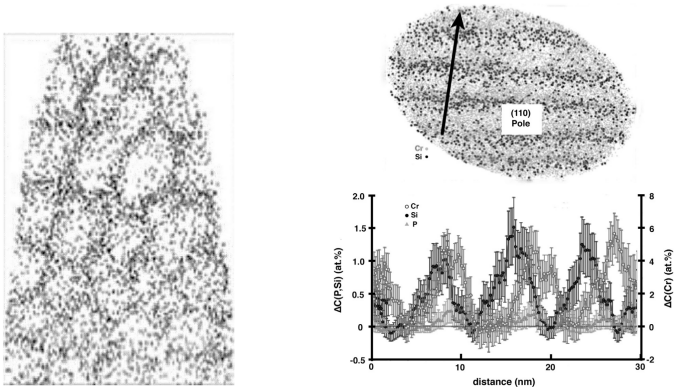
A. J. Ardell, P. Bellon "Radiation-induced solute segregation in metallic alloys" *Curr. Op. Solid State Mater. Sci.* **20**, 2016, 115 – 139.

# Exemplos de RIS



AISI 304, n, 300 K, 24 dpa

# Exemplos de RIS

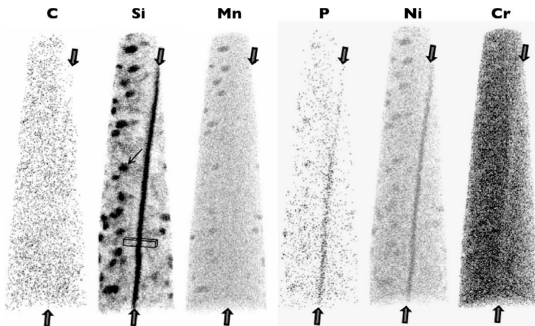


Fe-12Cr, n, 300 K, 0,6 dpa

A. J. Ardell, P. Bellon "Radiation-induced solute segregation in metallic alloys" *Curr. Op. Solid State Mater. Sci.* **20**, 2016, 115 – 139.



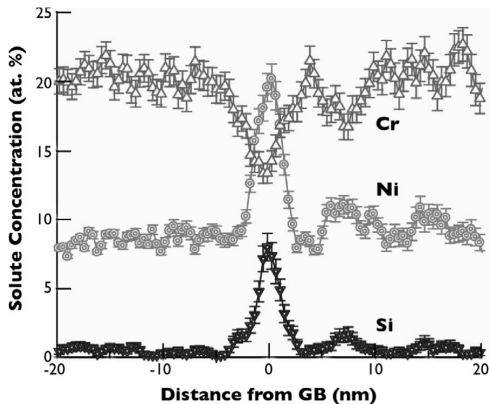
# Exemplos de RIS



AISI 304, n, 300 K, 24 dpa

A. J. Ardell, P. Bellon "Radiation-induced solute segregation in metallic alloys" *Curr. Op. Solid State Mater. Sci.* **20**, 2016, 115 – 139.

# Exemplos de RIS



AISI 304, n, 300 K, 24 dpa

A. J. Ardell, P. Bellon "Radiation-induced solute segregation in metallic alloys" *Curr. Op. Solid State Mater. Sci.* **20**, 2016, 115 –